

等温捷径与绝热捷径构成的类卡诺热机的效率与功率

龚政楠

北京师范大学

2021 年 3 月 23 日



目录

- ① 引言：热机的功率与效率问题
- ② 绝热捷径与等温捷径简介
 - 绝热捷径
 - 等温捷径
- ③ 类卡诺热机的功率与效率
 - 布朗粒子能量学
 - 类卡诺热机模型
 - 过阻尼布朗粒子



引言：热机的功率与效率问题



引言：热机的功率与效率问题

- 1824, 卡诺指出^[1]: 工作在相同高温热源和相同低温热源的所有热机中, 以可逆热机的效率最高, 为 $\eta_c = 1 - \frac{T_c}{T_h}$



引言：热机的功率与效率问题

- 1824, 卡诺指出^[1]: 工作在相同高温热源和相同低温热源的所有热机中, 以可逆热机的效率最高, 为 $\eta_c = 1 - \frac{T_c}{T_h}$
- 1975 年, Curzon 和 Ahlborn 研究了内可逆热机^[2], 得到了该热机在最大功率下的效率为 $\eta_{CA} = 1 - \sqrt{1 - \eta_c}$



引言：热机的功率与效率问题

- 1824, 卡诺指出^[1]: 工作在相同高温热源和相同低温热源的所有热机中, 以可逆热机的效率最高, 为 $\eta_c = 1 - \frac{T_c}{T_h}$
- 1975 年, Curzon 和 Ahlborn 研究了内可逆热机^[2], 得到了该热机在最大功率下的效率为 $\eta_{CA} = 1 - \sqrt{1 - \eta_c}$
- 2008 年, T. Schmiedl 和 U. Seifert 提出了布朗随机热机模型^[3], 最大功率下的效率为 $\frac{\eta_c}{2 - \frac{1}{2}\eta_c}$



引言：热机的功率与效率问题

- 1824, 卡诺指出^[1]: 工作在相同高温热源和相同低温热源的所有热机中, 以可逆热机的效率最高, 为 $\eta_c = 1 - \frac{T_c}{T_h}$
- 1975 年, Curzon 和 Ahlborn 研究了内可逆热机^[2], 得到了该热机在最大功率下的效率为 $\eta_{CA} = 1 - \sqrt{1 - \eta_c}$
- 2008 年, T. Schmiedl 和 U. Seifert 提出了布朗随机热机模型^[3], 最大功率下的效率为 $\frac{\eta_c}{2 - \frac{1}{2}\eta_c}$
- 同年, 涂展春推导出费曼棘轮热机^[4] 在最大功率下的效率 $\frac{\eta_c^2}{\eta_c - (1 - \eta_c) \ln(1 - \eta_c)}$.^[5]



引言：热机的功率与效率问题

- 1824, 卡诺指出^[1]: 工作在相同高温热源和相同低温热源的所有热机中, 以可逆热机的效率最高, 为 $\eta_c = 1 - \frac{T_c}{T_h}$
- 1975 年, Curzon 和 Ahlborn 研究了内可逆热机^[2], 得到了该热机在最大功率下的效率为 $\eta_{CA} = 1 - \sqrt{1 - \eta_c}$
- 2008 年, T. Schmiedl 和 U. Seifert 提出了布朗随机热机模型^[3], 最大功率下的效率为 $\frac{\eta_c}{2 - \frac{1}{2}\eta_c}$
- 同年, 涂展春推导出费曼棘轮热机^[4] 在最大功率下的效率 $\frac{\eta_c^2}{\eta_c - (1 - \eta_c) \ln(1 - \eta_c)}$.^[5]
- 2013 年, 涂展春在 Schmiedl 和 Seifert 工作^[3] 的基础上, 考虑了他们在过阻尼情况下忽略的惯性的影响, 构建了一种类卡洛热机^[6]. 发现这种随机热机在最大功率下的效率等于 η_{CA}



绝热捷径

为了在有限时间内实现平衡态的转化，Demirplak and Rice [7] 和 Berry [8] 独立发展出了绝热捷径的策略。



绝热捷径

为了在有限时间内实现平衡态的转化，Demirplak and Rice [7] 和 Berry [8] 独立发展出了绝热捷径的策略。
对于依赖于时间缓变的 $H_0(t)$ ，有绝热定理 [9]

$$|\psi(t)\rangle = |n(t)\rangle e^{i\theta_n(t)} e^{i\gamma_n(t)},$$

$$\theta_n(t) = -\frac{1}{\hbar} \int_0^t E_n(t') dt', \quad \gamma_n(t) = i \int_0^t \langle n(t') | \partial_{t'} n(t') \rangle dt' \quad (1)$$



绝热捷径

为了在有限时间内实现平衡态的转化，Demirplak and Rice [7] 和 Berry [8] 独立发展出了绝热捷径的策略。
对于依赖于时间缓变的 $H_0(t)$ ，有绝热定理 [9]

$$|\psi(t)\rangle = |n(t)\rangle e^{i\theta_n(t)} e^{i\gamma_n(t)},$$

$$\theta_n(t) = -\frac{1}{\hbar} \int_0^t E_n(t') dt', \quad \gamma_n(t) = i \int_0^t \langle n(t') | \partial_{t'} n(t') \rangle dt' \quad (1)$$

若有 $H(t)$ 使得绝热定理严格成立



绝热捷径

为了在有限时间内实现平衡态的转化，Demirplak and Rice [7] 和 Berry [8] 独立发展出了绝热捷径的策略。
对于依赖于时间缓变的 $H_0(t)$ ，有绝热定理 [9]

$$|\psi(t)\rangle = |n(t)\rangle e^{i\theta_n(t)} e^{i\gamma_n(t)},$$

$$\theta_n(t) = -\frac{1}{\hbar} \int_0^t E_n(t') dt', \quad \gamma_n(t) = i \int_0^t \langle n(t') | \partial_{t'} n(t') \rangle dt' \quad (1)$$

若有 $H(t)$ 使得绝热定理严格成立

$$H(t) = H_0(t) + i\hbar \sum_m (|\partial_t m\rangle \langle m| - \langle m | \partial_t m \rangle |m\rangle \langle m|)$$

$$\equiv H_0 + H_1 \quad (2)$$



绝热捷径

在经典的情形下，对于随时间缓变的 $H_0(t)$ ，也可以引入辅助哈密顿量 $H_1(t)$ ，使得绝热不变量^[10] 严格守恒

$$I(E, \lambda) \equiv \int d\eta \theta [E - H_0(z; \lambda)] \quad (3)$$



绝热捷径

在经典的情形下，对于随时间缓变的 $H_0(t)$ ，也可以引入辅助哈密顿量 $H_1(t)$ ，使得绝热不变量^[10] 严格守恒

$$I(E, \lambda) \equiv \int d\eta \theta [E - H_0(z; \lambda)] \quad (3)$$

谐振子势场中的辅助势

根据 Jarzynski 的计算^[11]，对于依赖于时间的谐振子势

$$H_0(\eta; \lambda(t)) = \frac{p^2}{2} + \frac{q^2}{2\lambda(t)^2} \quad (4)$$



绝热捷径

在经典的情形下，对于随时间缓变的 $H_0(t)$ ，也可以引入辅助哈密顿量 $H_1(t)$ ，使得绝热不变量^[10] 严格守恒

$$I(E, \lambda) \equiv \int d\eta \theta [E - H_0(z; \lambda)] \quad (3)$$

谐振子势场中的辅助势

根据 Jarzynski 的计算^[11]，对于依赖于时间的谐振子势

$$H_0(\eta; \lambda(t)) = \frac{p^2}{2} + \frac{q^2}{2\lambda(t)^2} \quad (4)$$

其相应的辅助势为

$$H_1(\eta; \lambda(t)) = \frac{\dot{\lambda}}{2\lambda} qp \quad (5)$$



利用绝热捷径实现平衡态的转化

平衡态的转化

设初态为平衡态

$$\rho_i = \frac{\beta_i}{2\pi\lambda_i} \exp[-\beta_i H_0(t_i)] \quad (6)$$



利用绝热捷径实现平衡态的转化

平衡态的转化

设初态为平衡态

$$\rho_i = \frac{\beta_i}{2\pi\lambda_i} \exp[-\beta_i H_0(t_i)] \quad (6)$$

假设末态为等效温度为 β_f 的平衡态

$$\rho_f = \frac{\beta_f}{2\pi\lambda_f} \exp[-\beta_f H_0(t_f)] \quad (7)$$



利用绝热捷径实现平衡态的转化

平衡态的转化

设初态为平衡态

$$\rho_i = \frac{\beta_i}{2\pi\lambda_i} \exp[-\beta_i H_0(t_i)] \quad (6)$$

假设末态为等效温度为 β_f 的平衡态

$$\rho_f = \frac{\beta_f}{2\pi\lambda_f} \exp[-\beta_f H_0(t_f)] \quad (7)$$

鉴于 $\rho_f = \rho_i$, $\frac{dH_0(t)}{dt} = -H_0(t) \frac{d \ln \lambda(t)}{dt}$, 得到 [6]

$$\frac{\beta_f}{\lambda_f} = \frac{\beta_i}{\lambda_i} \quad (8)$$



等温捷径

为了实现等温平衡态之间的相互转化，类似于绝热捷径，李耿等人^[12]发展出了等温捷径的策略。



等温捷径

为了实现等温平衡态之间的相互转化，类似于绝热捷径，李耿等人^[12]发展出了等温捷径的策略。

为系统施加一个额外的辅助势场，使得哈密顿量成为

$$H(q, p, t) = H_0(q, p, \lambda(t)) + U_1(q, p, t) \quad (9)$$



等温捷径

为了实现等温平衡态之间的相互转化，类似于绝热捷径，李耿等人^[12]发展出了等温捷径的策略。

为系统施加一个额外的辅助势场，使得哈密顿量成为

$$H(q, p, t) = H_0(q, p, \lambda(t)) + U_1(q, p, t) \quad (9)$$

分布函数 $\rho(q, p, t)$ 的演化由福克-普朗克方程决定

$$\frac{\partial \rho}{\partial t} + \nabla \cdot \mathbf{J} = 0 \quad (10)$$

$$\mathbf{J} \equiv \rho \left(p + \frac{\partial U}{\partial p} \right) \hat{\mathbf{q}} - \rho \left(\gamma p + \frac{\partial U}{\partial q} + \frac{\partial U}{\partial p} + \frac{\gamma}{\rho \beta} \frac{\partial \rho}{\partial p} \right) \hat{\mathbf{p}}$$



等温捷径

等温平衡态的转化

系统在原哈密顿量 $H_0(q, p, \lambda(t))$ 下的瞬时平衡态

$$\rho(q, p, t) = e^{\beta[F(\lambda(t)) - H_0(q, p, \lambda(t))]} \quad (11)$$



等温捷径

等温平衡态的转化

系统在原哈密顿量 $H_0(q, p, \lambda(t))$ 下的瞬时平衡态

$$\rho(q, p, t) = e^{\beta[F(\lambda(t)) - H_0(q, p, \lambda(t))]} \quad (11)$$

要使系统始终保持瞬时平衡态，将上式(11)代入方程(10)，得到 [12]

$$\frac{\gamma}{\beta} \frac{\partial^2 U_1}{\partial p^2} - \gamma p \frac{\partial U_1}{\partial p} + \frac{\partial U_0}{\partial q} \frac{\partial U_1}{\partial p} - p \frac{\partial U_1}{\partial q} = \left(\frac{dF}{d\lambda} - \frac{\partial U_0}{\partial \lambda} \right) \dot{\lambda} \quad (12)$$



等温捷径

等温平衡态的转化

系统在原哈密顿量 $H_0(q, p, \lambda(t))$ 下的瞬时平衡态

$$\rho(q, p, t) = e^{\beta[F(\lambda(t)) - H_0(q, p, \lambda(t))]} \quad (11)$$

要使系统始终保持瞬时平衡态，将上式(11)代入方程(10)，得到 [12]

$$\frac{\gamma}{\beta} \frac{\partial^2 U_1}{\partial p^2} - \gamma p \frac{\partial U_1}{\partial p} + \frac{\partial U_0}{\partial q} \frac{\partial U_1}{\partial p} - p \frac{\partial U_1}{\partial q} = \left(\frac{dF}{d\lambda} - \frac{\partial U_0}{\partial \lambda} \right) \dot{\lambda} \quad (12)$$

利用上式(12)，对依赖于时间的谐振子势 $U_0 = q^2/2\lambda(t)^2$

$$U_1(q, p, t) = -\frac{\dot{\lambda}(t)}{2\gamma\lambda(t)} [(p - \gamma q)^2 + q^2/\lambda(t)^2] \quad (13)$$



布朗粒子能量学



布朗粒子能量学

哈密顿量为 $H = \frac{p^2}{2} + U_0(q, \lambda(t)) + U_1(q, p, t)$ ，其全微分

$$dH = \left(\dot{p}p + \dot{q} \frac{\partial U_0}{\partial q} + \dot{p} \frac{\partial U_1}{\partial p} + \dot{q} \frac{\partial U_1}{\partial q} \right) dt + \left(\dot{\lambda} \frac{\partial U_0}{\partial \lambda} + \frac{\partial U_1}{\partial t} \right) dt \quad (14)$$



布朗粒子能量学

哈密顿量为 $H = \frac{p^2}{2} + U_0(q, \lambda(t)) + U_1(q, p, t)$ ，其全微分

$$dH = \left(\dot{p}p + \dot{q}\frac{\partial U_0}{\partial q} + \dot{p}\frac{\partial U_1}{\partial p} + \dot{q}\frac{\partial U_1}{\partial q} \right) dt + \left(\dot{\lambda}\frac{\partial U_0}{\partial \lambda} + \frac{\partial U_1}{\partial t} \right) dt \quad (14)$$

定义沿着轨道的能量差 Δe [6]、输入功 w [13,14,15]、吸收热 \bar{q}

$$\begin{aligned} \Delta e &\equiv H(t_f) - H(t_i), \quad w \equiv \int_{t_i}^{t_f} dt \left(\dot{\lambda}\frac{\partial U_0}{\partial \lambda} + \frac{\partial U_1}{\partial t} \right), \\ \bar{q} &\equiv \int_{t_i}^{t_f} dt \left(\dot{p}p + \dot{q}\frac{\partial U}{\partial q} + \dot{p}\frac{\partial U}{\partial p} \right) \end{aligned} \quad (15)$$



布朗粒子能量学

对 Δe , w , \bar{q} 求系综平均得

$$\Delta E \equiv \langle \Delta e \rangle = \int dq \int dp (H\rho) \Big|_{t_i}^{t_f} \quad (16)$$

$$W \equiv \langle w \rangle = \int_{t_i}^{t_f} dt \int dq \int dp \left[\rho \left(\dot{\lambda} \frac{\partial U_0}{\partial \lambda} + \frac{\partial U_1}{\partial t} \right) \right] \quad (17)$$

$$Q \equiv \langle \bar{q} \rangle = - \int_{t_i}^{t_f} dt \int dq \int dp \gamma \rho \left(p + \frac{\partial U}{\partial p} \right) \left(p + \frac{\partial U}{\partial p} + \frac{1}{\beta \rho} \frac{\partial \rho}{\partial p} \right) \quad (18)$$



布朗粒子能量学

布朗粒子能量学——依赖于时间谐振子势

依赖于时间的谐振子势 $U_0 = q^2/2\lambda(t)^2$ ，此时 $U = U_0 + U_1$ ，得



布朗粒子能量学

布朗粒子能量学——依赖于时间谐振子势

依赖于时间的谐振子势 $U_0 = q^2/2\lambda(t)^2$ ，此时 $U = U_0 + U_1$ ，得

- 过阻尼情况

$$\Delta E = \beta_f^{-1} - \beta_i^{-1} = 0 \quad (19)$$

$$Q = -W = \beta^{-1} \ln \frac{\lambda_f}{\lambda_i} - \beta^{-1} \gamma \int_{t_i}^{t_f} dt \dot{\lambda}^2 \quad (20)$$



布朗粒子能量学

布朗粒子能量学——依赖于时间谐振子势

依赖于时间的谐振子势 $U_0 = q^2/2\lambda(t)^2$, 此时 $U = U_0 + U_1$, 得

- 过阻尼情况

$$\Delta E = \beta_f^{-1} - \beta_i^{-1} = 0 \quad (19)$$

$$Q = -W = \beta^{-1} \ln \frac{\lambda_f}{\lambda_i} - \beta^{-1} \gamma \int_{t_i}^{t_f} dt \dot{\lambda}^2 \quad (20)$$

- 欠阻尼情况

$$\Delta E = \beta_f^{-1} - \beta_i^{-1} = 0 \quad (21)$$

$$Q = -W = \beta^{-1} \int_{t_i}^{t_f} \left(\frac{\dot{\lambda}}{\lambda} - \frac{1}{\gamma} \frac{\dot{\lambda}^2}{\lambda^2} - \gamma \dot{\lambda}^2 \right) \quad (22)$$



类卡诺热机模型

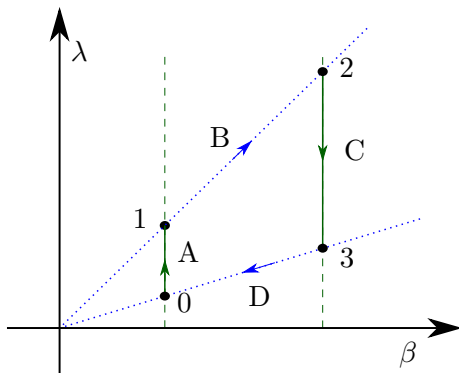


图 1: 类卡诺热机模型



类卡诺热机模型

类卡诺热机循环

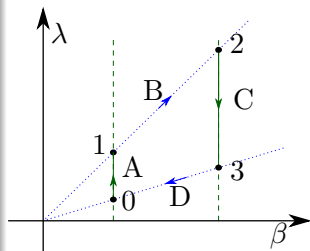


图 1: 类卡诺热机模型



类卡诺热机模型

类卡诺热机循环

• A. 等温膨胀

$$Q_A = \beta_h^{-1} \ln \frac{\lambda_1}{\lambda_0} - \beta_h^{-1} C_h[\lambda_h(\tau)] \frac{1}{t_1} \quad (23)$$

其中 $C_h[\lambda_h(\tau)] \equiv$
 $\gamma \int_0^1 d\tau \left(\frac{d\lambda_h}{d\tau} \right)^2$, $\lambda_h(\tau) \equiv \lambda(t_1 \tau)$

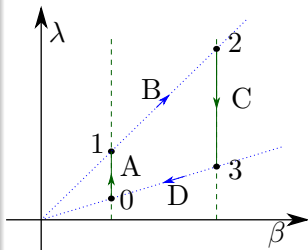


图 1: 类卡诺热机模型



类卡诺热机模型

类卡诺热机循环

• A. 等温膨胀

$$Q_A = \beta_h^{-1} \ln \frac{\lambda_1}{\lambda_0} - \beta_h^{-1} C_h[\lambda_h(\tau)] \frac{1}{t_1} \quad (23)$$

其中 $C_h[\lambda_h(\tau)] \equiv \gamma \int_0^1 d\tau \left(\frac{d\lambda_h}{d\tau} \right)^2$, $\lambda_h(\tau) \equiv \lambda(t_1 \tau)$

• B. 绝热膨胀

$$W_B = \Delta E_B = (\beta_c^{-1} - \beta_h^{-1}), \quad Q_B = 0 \quad (24)$$

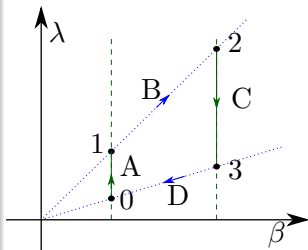


图 1: 类卡诺热机模型



类卡诺热机模型

类卡诺热机循环

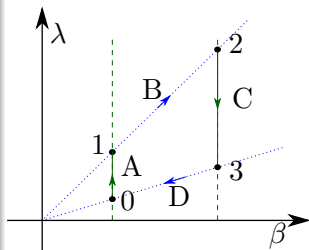


图 1: 类卡诺热机模型



类卡诺热机模型

类卡诺热机循环

• C. 等温压缩

$$Q_C = \beta_c^{-1} \ln \frac{\lambda_3}{\lambda_2} - \beta_c^{-1} C_c[\lambda_c(\tau)] \frac{1}{t_3} \quad (25)$$

其中 $C_c[\lambda_c(\tau)] \equiv \gamma \int_0^1 d\tau \left(\frac{d\lambda_c}{d\tau} \right)^2$, $\lambda_c(\tau) \equiv \lambda(t_3\tau + t_2 + t_1)$

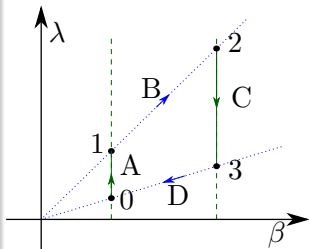


图 1: 类卡诺热机模型



类卡诺热机模型

类卡诺热机循环

- C. 等温压缩

$$Q_C = \beta_c^{-1} \ln \frac{\lambda_3}{\lambda_2} - \beta_c^{-1} C_c[\lambda_c(\tau)] \frac{1}{t_3} \quad (25)$$

其中 $C_c[\lambda_c(\tau)] \equiv \gamma \int_0^1 d\tau \left(\frac{d\lambda_c}{d\tau} \right)^2$, $\lambda_c(\tau) \equiv \lambda(t_3\tau + t_2 + t_1)$

- D. 绝热压缩

$$W_D = \Delta E_D = (\beta_h^{-1} - \beta_c^{-1}), \quad Q_D = 0 \quad (26)$$

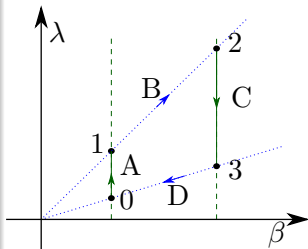


图 1: 类卡诺热机模型



类卡诺热机的功率与效率

则类卡诺热机的功率为

$$P = \frac{(\beta_h^{-1} - \beta_c^{-1}) \ln \frac{\lambda_1}{\lambda_0} - \left(\beta_h^{-1} C_h \frac{1}{t_1} + \beta_c^{-1} C_c \frac{1}{t_3} \right)}{t_1 + t_3} \quad (27)$$



类卡诺热机的功率与效率

则类卡诺热机的功率为

$$P = \frac{(\beta_h^{-1} - \beta_c^{-1}) \ln \frac{\lambda_1}{\lambda_0} - \left(\beta_h^{-1} C_h \frac{1}{t_1} + \beta_c^{-1} C_c \frac{1}{t_3} \right)}{t_1 + t_3} \quad (27)$$

效率为

$$\begin{aligned} \eta &= \frac{Q_A + Q_C}{Q_A} \\ &= 1 - \frac{\beta_c^{-1} \ln \frac{\lambda_1}{\lambda_0} + \beta_c^{-1} C_c \frac{1}{t_3}}{\beta_h^{-1} \ln \frac{\lambda_1}{\lambda_0} - \beta_h^{-1} C_h \frac{1}{t_1}} \end{aligned} \quad (28)$$



类卡诺热机的功率与效率

类卡诺热机的效率

优化 t_1, t_3 使得功率最大得

$$\eta^* = \frac{\eta_c}{2 - \eta_c \frac{\sqrt{\chi(1-\eta_c)} - 1}{\chi(1-\eta_c) - 1}} \quad (29)$$

其中 $\eta_c \equiv 1 - \frac{\beta_c^{-1}}{\beta_h^{-1}}$ 是卡诺效率，而 $\chi \equiv \frac{C_c[\lambda_c(\tau)]}{C_h[\lambda_h(\tau)]}$ 。



类卡诺热机的功率与效率

类卡诺热机的效率

优化 t_1, t_3 使得功率最大得

$$\eta^* = \frac{\eta_c}{2 - \eta_c \frac{\sqrt{\chi(1-\eta_c)}-1}{\chi(1-\eta_c)-1}} \quad (29)$$

其中 $\eta_c \equiv 1 - \frac{\beta_c^{-1}}{\beta_h^{-1}}$ 是卡诺效率，而 $\chi \equiv \frac{C_c[\lambda_c(\tau)]}{C_h[\lambda_h(\tau)]}$ 。

根据功率的表达式(27)，对 $C_h[\lambda_h(\tau)]$ 和 $C_c[\lambda_c(\tau)]$ 求泛函极值可得

$$\chi = (1 - \eta_c)^{-2} \quad (30)$$



类卡诺热机的功率与效率

布朗粒子类卡诺热机在最大功率时的效率

将上式(30)代入效率的表达式(29)可得

$$\eta^* = \frac{\eta_c}{3 - (\eta_c + \sqrt{1 - \eta_c})} \quad (31)$$



总结与展望

目前做了的工作



总结与展望

目前做了的工作

- 对于欠阻尼和过阻尼等温捷径过程，以及绝热捷径过程，得到了计算能量差、输入功、吸收热的表达式



总结与展望

目前做了的工作

- 对于欠阻尼和过阻尼等温捷径过程，以及绝热捷径过程，得到了计算能量差、输入功、吸收热的表达式
- 利用等温捷径和绝热捷径构造了，在过阻尼情况下构造了类卡诺热机



总结与展望

目前做了的工作

- 对于欠阻尼和过阻尼等温捷径过程，以及绝热捷径过程，得到了计算能量差、输入功、吸收热的表达式
- 利用等温捷径和绝热捷径构造了，在过阻尼情况下构造了类卡诺热机
- 对于过阻尼情况，计算出了该热机在最大功率时的效率



总结与展望

以后要做的工作



总结与展望

以后要做的工作

- 在欠阻尼情况下，构造出类卡诺热机，并计算该热机在最大功率时的效率



总结与展望

以后要做的工作

- 在欠阻尼情况下，构造出类卡诺热机，并计算该热机在最大功率时的效率
- 将构造的类卡诺热机的效率与其他热机进行比较，包括 Curzon 和 Ahlborn 构造的内可逆热机^[2]，T. Schmiedl 和 U. Seifert 构造的布朗随机热机模型^[3]，涂展春构建的类卡洛热机^[6]，Campo 等人构建的奥托热机^[16]



THANK YOU!



- [1] 赵凯华 and 罗蔚茵. 新概念物理教程：热学. 高等教育出版社, 北京, 2005.
- [2] F. L. Curzon and B. Ahlborn. Efficiency of a Carnot engine at maximum power output. *American Journal of Physics*, 1975.
- [3] T. Schmiedl and U. Seifert. Efficiency at maximum power: An analytically solvable model for stochastic heat engines. *EPL*, 2008.
- [4] Z. C. Tu. Efficiency at maximum power of Feynman's ratchet as a heat engine. *Journal of Physics A: Mathematical and Theoretical*, 2008.
- [5] Zhan-Chun Tu. Abstract models for heat engines. *Frontiers of Physics*, 16(3):33202, 2020.
- [6] Z. C. Tu. Stochastic heat engine with the consideration of inertial effects and shortcuts to adiabaticity. *Physical Review E - Statistical, Nonlinear, and Soft Matter Physics*, 89(5):1–9, 2014.
- [7] Mustafa Demirplak and Stuart A. Rice. Adiabatic population transfer with control fields. *Journal of Physical Chemistry A*, 107(46):9937–9945, 2003.



- [8] M. V. Berry. Transitionless quantum driving. *Journal of Physics A: Mathematical and Theoretical*, 42(36):1–9, 2009.
- [9] David J. Griffiths and Darrell F. Schroeter. *Introduction to Quantum Mechanics*. Cambridge University Press, 2018.
- [10] 刘川. 理论力学. 北京大学出版社, 北京, 2019.
- [11] Christopher Jarzynski. Generating shortcuts to adiabaticity in quantum and classical dynamics. *Physical Review A - Atomic, Molecular, and Optical Physics*, 88(4):1–5, 2013.
- [12] Geng Li, H. T. Quan, and Z. C. Tu. Shortcuts to isothermality and nonequilibrium work relations. *Physical Review E*, 96(1):1–11, 2017.
- [13] K. Sekimoto. *Stochastic energetics*, volume 799. Springer, Berlin Heidelberg, 2010.
- [14] C. Jarzynski. Nonequilibrium equality for free energy differences. *Physical Review Letters*, 78(14):2690–2693, 1997.



- [15] Ken Sekimoto. Kinetic characterization of heat bath and the energetics of thermal ratchet models. *Journal of the Physical Society of Japan*, 66(5):1234–1237, may 1997.
- [16] A. Del Campo, J. Goold, and M. Paternostro. More bang for your buck: Super-adiabatic quantum engines. *Scientific Reports*, 4:1–6, 2014.

